

II-159 浮遊砂を有する滑面上の開水路流れに関する一考察

京都大学大学院 学生員 坂井伸一
 京都大学工学部 正員 岩佐義朗
 京都大学工学部 正員 細田 尚

1. はじめに； 本研究は、浮遊砂を有する滑面上の流れの抵抗則に関して、乱流モデルを用いた検討を行ったものである。乱流モデルとして、乱れReynolds数の低い領域も考慮した $k - \varepsilon$ モデル (Jones・Launder¹⁾ モデル) を用いる。浮遊砂を有する開水路流れの特性について標準型の $k - \varepsilon$ モデルを用いた検討もなされているが²⁾、Jones・Launderモデルを用いることにより、Karman定数を仮定することなく流れの特性を検討することができる。

2. 基礎式； 次のような無次元量を導入する。（記号の説明を図1に示す。）

$$U' = \frac{U}{u_*}, u' = \frac{u}{u_*}, k' = \frac{k}{u_*^2}, \varepsilon' = \frac{\varepsilon h}{u_*^3}, y' = \frac{y}{h}, t' = \frac{tu_*}{h}$$

ここに、 U 、 u ：液相の平均流速、乱れ速度ベクトルの x 方向成分、 k ：乱れエネルギー、 ε ：乱れエネルギー散逸率、 h ：水深、 u_* ：摩擦速度($\sqrt{gh\sin\theta}$)、 (x, y) ：空間座標、 t ：時間 である。このとき基礎式は次のようになる³⁾。

$$\frac{\partial U}{\partial t} + \frac{\partial}{\partial y} (\bar{u}\bar{v}) - \frac{w_0}{u_*} U \frac{\partial C}{\partial y} = \frac{1}{1-C} + \frac{1}{Re_*} \frac{\partial^2 U}{\partial y^2} \quad (1)$$

$$\begin{aligned} \frac{\partial k}{\partial t} = & -\bar{u}\bar{v} \frac{\partial U}{\partial y} + \frac{\partial}{\partial y} \left[\left(\frac{D}{\sigma_k} + \frac{1}{Re_*} \right) \frac{\partial k}{\partial y} \right] - \varepsilon - 2 \frac{1}{Re_*} \left(\frac{\partial \sqrt{k}}{\partial y} \right)^2 \\ & - \bar{c}\bar{v} \frac{1}{Fr_*^2} \frac{1}{(1-C)} \frac{\rho_p - \rho_f}{\rho_f} \end{aligned} \quad (2)$$

$$\begin{aligned} \frac{\partial \varepsilon}{\partial t} = & C_{\varepsilon 1} \frac{\varepsilon}{k} D \left(\frac{\partial U}{\partial y} \right)^2 - C_{\varepsilon 2} \frac{\varepsilon^2}{k} + 2 \frac{1}{Re_*} D \left(\frac{\partial^2 U}{\partial y^2} \right)^2 \\ & - \frac{\partial}{\partial y} \left[\left(\frac{D}{\sigma_\varepsilon} + Re_* \right) \frac{\partial \varepsilon}{\partial y} \right] - C_{\varepsilon 3} \frac{\bar{c}\bar{v}}{(1-C)} \frac{1}{Fr_*^2} \frac{\varepsilon}{k} \frac{\rho_p - \rho_f}{\rho_f} \end{aligned} \quad (3)$$

$$\frac{\partial C}{\partial t} + \frac{w_0}{u_*} \frac{\partial}{\partial y} [(C-1)C] = \frac{\partial}{\partial y} (-\bar{c}\bar{v}) \quad (4)$$

$$-\bar{u}\bar{v} = D \frac{\partial U}{\partial y}, -\bar{c}\bar{v} = \alpha D \frac{\partial C}{\partial y} \quad (\alpha = 1.0 \text{ とする})$$

ここに、 C 、 c ：浮遊砂の平均、変動体積濃度、 w_0 ：砂粒子の沈降速度。また、 Re_* 、 Fr_* は次のように定義されるパラメータである。

$$Re_* = \frac{u_* h}{\nu}, Fr_* = \frac{u_*}{\sqrt{gh}}$$

上式では簡単のため無次元量を表す'を省略している。また、 $C\mu$ 、 $C\varepsilon 2$ の関数形はJones・Launderと同一である。さらに、 w_0 としてStokes則を用いると、 w_0/u_* は次のようになる。

$$\frac{w_0}{u_*} = \frac{1}{18} \frac{Re_*}{Fr_*^2} \frac{d}{h} \frac{(\rho_p - \rho_f)}{\rho_f} \quad (d: \text{砂の粒径}, \rho_p: \text{砂の密度}, \rho_f: \text{水の密度})$$

結局、4種類の無次元パラメータ Re_* 、 Fr_* 、 d/h 、 $(\rho_p - \rho_f)\rho_f$ が現れる。

3. 解析方法； 数値解析は、(1)～(4)式を差分化し、適当に与えた初期条件より出発して時間発展を取り、定常状態が得られるまで繰り返した。境界条件は、路床 $y=0$ で $U=0$ 、 $k=0$ 、 $\varepsilon=0$ 。 C に関する(4)式につい

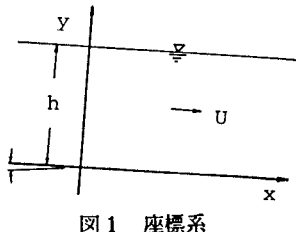


図1 座標系

では $y=0$ で $-\bar{cv} = \frac{w_0}{U_*} C(C-1)$ とした。また、水面 $y=0$ では $\partial U / \partial y = 0$, $\partial k / \partial y = 0$, $\partial \varepsilon / \partial y = 0$ 。Cについても路床と同様に $-\bar{cv} = \frac{w_0}{U_*} C(C-1)$ である。この条件のもとに(4)式を水深にわたって積分すれば、浮遊砂の体積が時間に関して一定となることがわかる。計算の諸条件を表1に示す。 C_m は浮遊砂の断面平均濃度である。

4. 結果の考察: Run1について得られた流速分布を示したのが図2である。浮遊砂濃度の増加とともに流速分布の勾配が急になっている。すなわちKarman定数が減少して行く。次に、Run1, 2の抵抗係数 $C_f = 2(u_*/U_m)^2$ と C_m の関係を示したのが図3(a), (b)である。 U_m は、液相のみの単位幅流量 $q_r = \int_0^h U(1-C)dy$ と混相の単位幅流量 $q_m = \int_0^h U dy$ の二種類を用いて $U_m = q_r/h$, q_m/h として求めた。液相のみの流量を用いたときは抵抗係数は今本・大年⁴⁾の結果と同様に、濃度の増加とともに増加するが、混相の流量を用いたときは逆に減少する。図4, 5には、Run1の k , ε の分布を示した。路床に近づくほど浮遊砂の影響が大きく、濃度が大きいほど、 k , ε の値も大きいことがわかる。

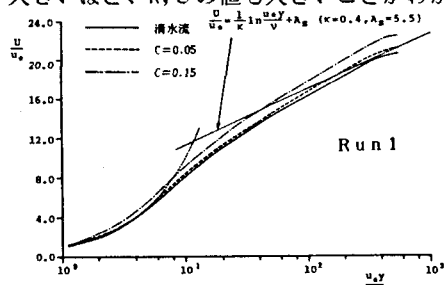
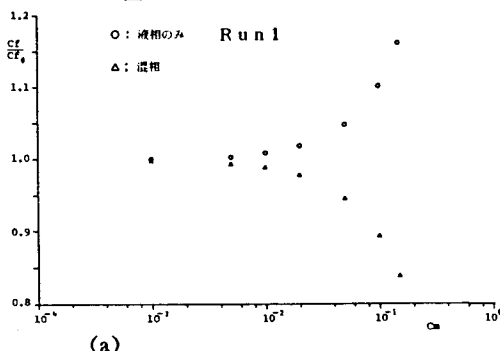
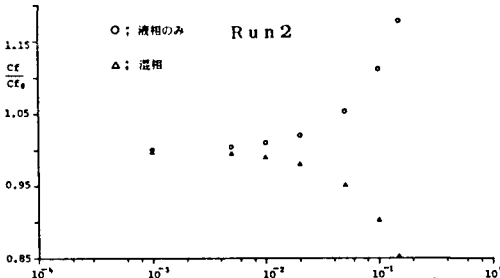


図2 流速の鉛直分布



(a)



(b) 図3 CfとCmの関係

表1 計算条件

	$\frac{U_m}{V}$	$\frac{U_m}{\sqrt{gh}}$	$\frac{d}{h}$	$\frac{\rho_p - \rho_f}{\rho_f}$	C_m
Run 1	553.4	0.045	2×10^{-8}	1.65	0.001~0.15
Run 2	1237.4	0.100	8×10^{-4}	1.65	0.001~0.15

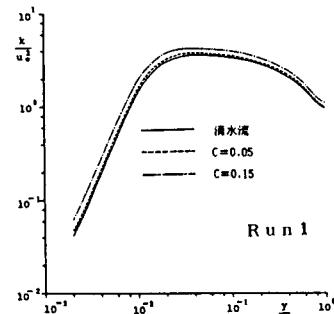


図4 k の鉛直分布

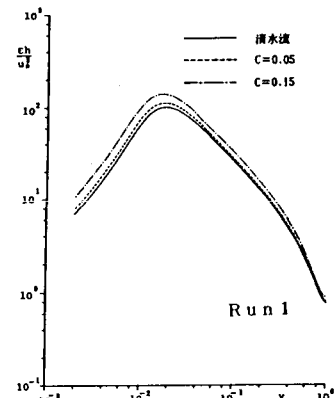


図5 ε の鉛直分布

参考文献 1) Jones・Launder: Int. J. Heat Mass Transfer, Vol. 15, 1972, 2) 福嶋祐介: 第30回, 31回水理講演会論文集, 1986, 1987, 3) 細田・余越: 第31回水理講演会論文集, 1987 4) 今本・大年: 京大防災年報第22号B-2, 1979